

С.П. Баранов, В.Л. Сладь

**РОЖДЕНИЕ  $\Omega_{scb}$ -БАРИОНОВ  
В ФОТОН-ФОТОННЫХ СТОЛКНОВЕНИЯХ**

Препринт НИИЯФ МГУ 2005-19/785

МОСКОВСКИЙ ГОСУДАРСТВЕННЫЙ УНИВЕРСИТЕТ  
имени М.В.Ломоносова

НАУЧНО-ИССЛЕДОВАТЕЛЬСКИЙ ИНСТИТУТ  
ЯДЕРНОЙ ФИЗИКИ  
имени Д.В.Скобельцына

С.П. Баранов, В.Л. Сладь

**РОЖДЕНИЕ  $\Omega_{scb}$ -БАРИОНОВ  
В ФОТОН-ФОТОННЫХ СТОЛКНОВЕНИЯХ**

Препринт НИИЯФ МГУ 2005-19/785

УНЦ ДО  
Москва  
2005

УДК 539.12

S.P. Baranov, V.L. Slad  
E-mail: vslad@sinp.msu.ru

**Production of  $\Omega_{scb}$  Baryons in Photon–Photon Collisions**  
Preprint SINP MSU 2005-19/785

Methods and results of calculations of the total and differential cross sections for the production of  $\Omega_{scb}$  baryons in two-photon collisions are described.

**Баранов С.П.**

Рождение  $\Omega_{scb}$ -барионов в фотон-фотонных столкновениях: Препринт НИИЯФ МГУ 2005-19/785 / С.П. Баранов, В.Л. Сладь. – М.: Изд-во УНЦ ДО, 2005. – 20 с.

Описываются методы и результаты вычислений полных и дифференциальных сечений рождения  $\Omega_{scb}$ -барионов в двухфотонных столкновениях.

## 1. ВВЕДЕНИЕ

Физика барионов с двумя и тремя тяжелыми карками ( $c, b$ ) является актуальным, но пока малоизученным предметом. Исследование рождения, распадов и спектроскопии таких частиц будет служить дальнейшей проверке квантовой хромодинамики в её пертурбативном и непертурбативном аспектах и установлению основных свойств электрослабого взаимодействия на фундаментальном уровне. Достаточно полно состояние этой тематики освещено в обзорной работе [1].

Единственное сообщение [2] об экспериментальном наблюдении барионов  $\Sigma_{dec}^+$  не признается убедительным [3].

Имеющийся теоретический анализ рождения барионов с двумя тяжелыми кварками  $Q$  и  $Q'$  в различных процессах в основном сводится к изучению рождения дикварков  $QQ'$  и использует предположение, что, во-первых, дикварки  $QQ'$  с вероятностью близкой к единице превращаются в барионы  $QQ'q$  ( $q$  – лёгкий夸克  $u$  или  $d$ ) и, во-вторых, дифференциальные характеристики процесса рождения барионов  $QQ'q$  с точностью до общей константы совпадают с соответствующими величинами для дикварков  $QQ'$ . Рождению дикварка  $QQ'$  сопоставляются либо только те фейнмановские диаграммы, которые отвечают концепции фрагментации тяжелого кварка  $Q$  в дикварк  $QQ'$  [4, 5], либо все фейнмановские диаграммы четвертого порядка по теории возмущений стандартной модели [6 – 11]. Изучению фрагментации夸ков  $c$  или  $b$  в трижды тяжелые барионы посвящена работа [12].

Первые прямые вычисления полных и дифференциальных сечений рождения в  $e^+e^-$ -аннигиляции барионов с двумя различными тяжелыми кварками  $\Omega_{scb}$  ( $\Xi_{qcb}$ ) и с тремя одинаковыми ( $\Omega_{ccc}$ ), основанные на всех фейнмановских диаграммах шестого порядка по теории возмущений стандартной модели, были выполнены в наших работах [13 – 15]. В них пертурбативная методика нахождения амплитуды рождения трех夸ков и трех антикварков дополнялась непертурбативным нерелятивистским приближением [16 – 18] для описания связывания трех夸ков в барион. Монте-карловское интегрирование по фазовому объему четырех конечных частиц, приводящее к дифференциальным и полным сечениям процессов, осуществлялось на базе программы ComrHEP [19].

В настоящей работе мы распространяем этот подход на вычисления сечений процесса рождения  $\Omega_{scb}$ -барионов в фотон-фотонных столкновениях.

ниях. Этому процессу соответствуют 552 диаграммы Фейнмана с ненулевыми вкладами в амплитуду, тогда как изучавшемуся нами ранее процессу рождения  $\Omega_{scb}$ -барионов в  $e^+e^-$ -аннигиляции сопоставлялось 84 диаграммы такого рода. Если бы мы пожелали провести анализ рождения в  $\gamma\gamma$ -столкновениях барионов с двумя или тремя одинаковыми тяжелыми кварками, то нам пришлось бы иметь дело не только с 1104 или 3312 диаграммами Фейнмана, но и с другими усложнениями, включая более длинные шпуры, возникающие при суммировании по поляризациям фермionов, и большее число ортогональных амплитуд, по которым как по базису проводится разложение матричного элемента процесса.

Вычисления сечений двухфотонных столкновений с рождением  $\Omega_{scb}$ -барионов проводятся нами при значении энергии  $\sqrt{s} = 200$  ГэВ, которое является одним из обсуждаемых для фотонного коллайдера на основе электрон-позитронного ускорителя ТЕСЛА [20], и при значении равном энергии покоя  $Z$ -бозона  $\sqrt{s} = 91.2$  ГэВ. Последний выбор  $\sqrt{s}$  дает возможность сравнить при одном и том же значении полной энергии форму дифференциальных сечений рождения  $\Omega_{scb}$ -барионов в  $\gamma\gamma$ -столкновениях и в  $e^+e^-$ -аннигиляции и убедиться в том, что понятие фрагментации тяжелого кварка в барион в некоторых отношениях не является универсальным.

## 2. АМПЛИТУДА РОЖДЕНИЯ ТРЕХ КВАРК-АНТИКВАРКОВЫХ ПАР В ФОТОН-ФОТОННЫХ СТОЛКНОВЕНИЯХ

Рождению  $\Omega_{scb}$ -барионов во взаимодействиях двух гамма-квантов, характеризующихся 4-векторами импульсов  $k_1, k_2$  и поляризаций  $e_1, e_2$ , сопутствует элементарный процесс шестого порядка по теории возмущений стандартной модели

$$\begin{aligned} \gamma(k_1, e_1) + \gamma(k_2, e_2) \rightarrow & s(p_1, \zeta_1) + c(p_2, \zeta_2) + \\ & + b(p_3, \zeta_3) + \bar{s}(p_4, \chi_1) + \bar{c}(p_5, \chi_2) + \bar{b}(p_6, \chi_3), \end{aligned} \quad (1)$$

где в скобках у знаков рождающихся夸ков и антикварков указаны их 4-импульсы и цвета. В соответствии с принятыми стандартами, мы в своих расчетах пренебрегаем электрослабым взаимодействием между кварками, так как оно дает на порядок меньший вклад в амплитуду процесса по сравнению с вкладом хромодинамического взаимодействия между теми же кварками. Тем самым процессу (1) сопоставляются 46 базовых

диаграмм Фейнмана с ненулевыми вкладами в амплитуду. Они изображены на рис. 1. На базовых диаграммах не конкретизируется порядок расположения двух фотонных и трех кварк-антикварковых линий, т. е. каждая из этих диаграмм представляет собой отождествление 12 диаграмм Фейнмана с вполне определенными порядками расположения линий всех частиц. Таким образом, наш анализ процесса (1) включает в себя рассмотрение 552 диаграмм Фейнмана. Мы не приводим изображений диаграмм с трехглюонными вершинами, так как отвечающие им слагаемые в амплитуде процесса (1) при суммировании по цветовым индексам рождающихся частиц обращаются в нуль. Указание на обоснование этого будет дано позже.

Вычисления, основанные на точных выражениях для матричного элемента процесса (1) и на точных выражениях, возникающих при суммировании по поляризациям рождающихся夸ков и антикварков, скорее всего представляли бы для нас нерешаемую задачу из-за объема необходимых компьютерных записей и требуемого времени на компиляцию программ и на получение численных результатов для сечений. Поэтому мы прибегаем к приближению, которое получается следующим образом. Каждой из диаграмм Фейнмана сопоставляется отдельное слагаемое в матричном элементе процесса, имеющее вид дроби, причем глюонные пропагаторы берутся в калибровке Фейнмана. В числителе каждой такой дроби мы пренебрегаем членами, пропорциональными целым положительным степеням масс夸ков. Аналогичными членами мы пренебрегаем и в знаменателе, появляющихся при суммировании по поляризациям фермионов. Эти пренебрежения не следует воспринимать как обращение масс夸ков в нуль. В наших вычислениях везде и всюду, в том числе в получаемом приближенном выражении для квадрата модуля матричного элемента процесса (1) все 4-импульсы夸ков, связываемых в барион, и 4-импульсы свободных антикварков берутся лежащими на массовых поверхностях  $p_i^2 = m_i^2$ , которые задаются ненулевыми массами. Благодаря обсуждаемому приближению аналитические выражения, получающиеся при взятии шпуротов, становятся короче по крайней мере на порядок, а еще примерно на порядок уменьшается объем операций численного интегрирования при нахождении сечений из-за сокращения с 64 до 8 количества ортогональных амплитуд, о которых речь будет идти позже. Как уже сообщалось в работе [14], оценка погрешности в величине полного

сечения, возникающей от подобного приближения, была получена нами для процесса рождения  $\Omega_{scb}$ -барионов в  $Z$ -полюсе  $e^+e^-$ -аннигиляции. Она оказалась равной примерно 8%. Стоит отметить, что, вообще говоря, приближенное выражение для матричного элемента может изменяться с изменением калибровки для пропагаторов виртуальных глюонов. Нефизические состояния реальных фотонов, существование которых допускается калибровочной симметрией, могли бы давать ненулевой вклад в сечение, вычисляемое на основании вводимого приближения. Такие состояния исключаются, однако, явным выбором 4-векторов поляризации фотонов, который описывается ниже.

Существенные упрощения в работу с амплитудой процесса (1) вносит то обстоятельство, что по постановке нашей задачи три родившиеся кварка должны находиться в таком состоянии, которое допускает их объединение в барион. Так как наблюдаемые частицы, включая барионы, являются синглетами цветовой группы  $SU(3)_c$ , то следует потребовать от состояния кварков антисимметричности по их цветовым индексам  $\zeta_1$ ,  $\zeta_2$  и  $\zeta_3$ . Принимая во внимание это и то, что начальные частицы процесса (1) бесцветны, мы приходим также к заключению, что и состояние трех родившихся антикварков должно представлять собой синглет группы  $SU(3)_c$ , т. е. что оно антисимметрично по цветовым индексам  $\chi_1$ ,  $\chi_2$  и  $\chi_3$ . Сформулированные условия, накладываемые на состояния кварков и антикварков, вместе с требованием подходящей нормировки состояний можно выполнить путем введения в амплитуду процесса (1) произведения полностью антисимметричных тензоров  $(\epsilon^{\zeta_1\zeta_2\zeta_3}/\sqrt{6})(\epsilon^{\chi_1\chi_2\chi_3}/\sqrt{6})$  с последующим суммированием по всем цветовым индексам  $\zeta_i$  и  $\chi_j$ .

Так как математическое выражение для амплитуды процесса (1) в любой форме достаточно громоздко, а нам желательно продемонстрировать по крайней мере отдельные элементы амплитуды, вовлекаемые в дальнейшие обсуждения, то ограничимся записью только одного слагаемого в матричном элементе. Это слагаемое сопоставляется первой из изображенных на рис. 1 диаграмм Фейнмана со следующей конкретизацией ее линий: нижняя фотонная линия относится к кванту  $\gamma(k_1, e_1)$ , а верхняя - к  $\gamma(k_2, e_2)$ ; кварк-антикварковые пары рождаются в последовательности  $b\bar{b}$ ,  $c\bar{c}$  и затем  $s\bar{s}$ . Оно равно

$$\mathcal{M}_1 = -\frac{1}{6}\epsilon^{\zeta_1\zeta_2\zeta_3}\epsilon^{\chi_1\chi_2\chi_3}T_{\zeta_1\chi_1}^a T_{\zeta_2\xi}^a T_{\xi\chi_2}^b T_{\zeta_3\chi_3}^b g_s^4 e^2 Q_b^2 (p_1 + p_4)^{-2} \times$$

$$\begin{aligned} & \times (p_1 + p_2 + p_4 + p_5)^{-2} [(p_1 + p_2 + p_4)^2 - m_c^2]^{-1} [(k_1 + k_2 - p_6)^2 - m_b^2]^{-1} \times \\ & \times [(k_2 - p_6)^2 - m_b^2]^{-1} [\bar{u}(\mathbf{p}_1) \gamma^\delta v(-\mathbf{p}_4)] [\bar{u}(\mathbf{p}_2) \gamma_\delta (\hat{p}_1 + \hat{p}_2 + \hat{p}_4)] \gamma^\epsilon v(-\mathbf{p}_5)] \times \\ & \times [\bar{u}(\mathbf{p}_3) \gamma_\epsilon (\hat{k}_1 + \hat{k}_2 - \hat{p}_6) \gamma_\mu (\hat{k}_2 - \hat{p}_6) \gamma_\nu v(-\mathbf{p}_6)] e^\mu(k_1) e^\nu(k_2), \end{aligned} \quad (2)$$

где  $T^a = \lambda^a/2$  ( $\lambda^a$  ( $a = 1, \dots, 8$ ) – матрицы Гелл-Манна),  $Q_b$  – заряд  $b$ -кварка в единицах заряда позитрона  $e$ .

Благодаря суммированию по цветовым индексам кварков и антакварков мы получаем, что коэффициенты, обусловленные группой  $SU(3)_c$ , одинаковы во всех 552 слагаемых матричного элемента, соотносимых полной совокупности диаграмм Фейнмана, чьи базовые типы изображены на рис. 1. Эти коэффициенты, как показывают прямые вычисления, равны

$$\frac{1}{6} \epsilon^{\zeta_1 \zeta_2 \zeta_3} \epsilon^{\chi_1 \chi_2 \chi_3} T_{\zeta_1 \chi_1}^a T_{\zeta_2 \chi_2}^a T_{\zeta_3 \chi_3}^b = \frac{4}{9}. \quad (3)$$

Для диаграмм Фейнмана с трехглюонными вершинами, изображение которых в настоящей работе не дается, цветовые коэффициенты в соответствующих слагаемых матричного элемента можно свести к виду  $(1/6) \epsilon^{\zeta_1 \zeta_2 \zeta_3} \epsilon^{\chi_1 \chi_2 \chi_3} T_{\zeta_1 \chi_1}^a T_{\zeta_2 \chi_2}^b T_{\zeta_3 \chi_3}^c$ , где  $f^{abc}$  – структурные константы группы  $SU(3)_c$ . В работе [13] было доказано, что эти коэффициенты обращаются в нуль.

### 3. СУММИРОВАНИЕ ПО ПОЛЯРИЗАЦИЯМ КВАРКОВ И АНТИКВАРКОВ

Наиболее трудоемкой частью анализа процесса (1) является вычисление квадрата матричного элемента, просуммированного по поляризациям родившихся фермионов. Если это делать напрямик, то пришлось бы находить по-отдельности шпуры, относящиеся к каждому из 152628 слагаемых квадрата матричного элемента. Мы существенно упрощаем задачу суммирования по поляризациям фермионов, используя метод ортогональных амплитуд. Хотя этот метод появился давно [21], он не имел широкого употребления. Нам хотелось бы отметить его применение в работах [7, 9, 13] и строгое обоснование и применение в статье [14].

Суть метода ортогональных амплитуд применительно к нашей задаче такова. Пусть спиноры  $u(\mathbf{p})$  и  $v(-\mathbf{p}')$  подчиняются одному и тому же или разным уравнениям Дирака, описывая состояние частицы и античастицы. Пусть заданы некоторые 4-векторы  $K$  и  $Q$ , которые ортогональны

друг другу и 4-импульсам  $p$  и  $p'$ , т. е.  $K_\mu Q^\mu = 0$ ,  $K_\mu p^\mu = 0$ ,  $Q_\mu p^\mu = 0$ ,  $K_\mu p'^\mu = 0$ ,  $Q_\mu p'^\mu = 0$ . Определим четыре величины  $w_n = \bar{u}(\mathbf{p})\mathcal{O}_n v(-\mathbf{p}')$ , где  $\mathcal{O}_1 = \hat{K}$ ,  $\mathcal{O}_2 = \hat{Q}$ ,  $\mathcal{O}_3 = 1$ ,  $\mathcal{O}_4 = \hat{K}\hat{Q}$ . Тогда при суммировании по поляризациям спиноров выполняется соотношение

$$\sum_{\text{polar}} w_n w_{n'}^* = (w_n, w_n) \delta_{nn'}, \quad (4)$$

причем  $(w_n, w_n) \neq 0$ , вследствие чего величины  $w_n$  ( $n = 1, \dots, 4$ ) называются ортогональными амплитудами. Любая величина вида  $\bar{u}(\mathbf{p})Rv(-\mathbf{p}')$ , где  $R$  - матричный оператор, может быть однозначно разложена по ортогональным амплитудам

$$\bar{u}(\mathbf{p})Rv(-\mathbf{p}') = \sum_{n=1}^4 c_n w_n. \quad (5)$$

Умножим обе стороны равенства (5) на  $w_{n'}^*$ , просуммируем по поляризациям фермионов, пренебрегая членами с целыми положительными степенями масс, и используем соотношение (4). Получим

$$(w_n, w_n) c_n = \text{Sp}(R\hat{p}'\mathcal{O}_n^\dagger\hat{p}). \quad (6)$$

Величины вида  $\bar{u}(\mathbf{p})Rv(-\mathbf{p}')$ , являясь составными элементами амплитуды процесса (1), ставятся в соответствие каждой фермионной линии на любой из рассматриваемых диаграмм Фейнмана. Пусть некоторая фермионная линия проходит через  $N$  вершин взаимодействия фермиона с 4-векторными полями фотонов и глюонов. Тогда она содержит  $N - 1$  участок с виртуальным фермионом. Если в чисителях фермионных propagatorов пренебрегать членами с первой степенью масс фермионов, то в рассматриваемом процессе оператор  $R$ , отвечающий любой фермионной линии, выражается линейным образом через произведение нечетного числа  $(2N - 1)$   $\gamma$ -матриц Дирака. Вследствие этого правая часть соотношения (6) при  $n = 3$  и при  $n = 4$  обращается в нуль, так как она линейна по шпурам от нечетного числа  $\gamma$ -матриц Дирака, т.е.  $c_3 = c_4 = 0$ , и в разложении (5) ненулевой вес имеют только ортогональные амплитуды  $w_1$  и  $w_2$ .

Изложим теперь полную последовательность действий по нахождению квадрата матричного элемента процесса (1), просуммированного по поляризациям всех рождающихся夸ков и анти夸ков, с учетом при-

нятого нами приближения для матричного элемента и для шпурров. Введем величины

$$w_{in} = \bar{u}(\mathbf{p}_i) \mathcal{O}_{in} v(-\mathbf{p}_{3+i}), \quad (7)$$

где  $n = 1, 2$  и

$$\mathcal{O}_{i1} = \hat{K}_i, \quad (K_i)^\mu = \epsilon^{\mu\mu\rho\sigma}(p_i)_\nu(p_{3+i})_\rho(a_i)_\sigma, \quad (8)$$

$$\mathcal{O}_{i2} = \hat{Q}_i, \quad (Q_i)^\mu = \epsilon^{\mu\mu\rho\sigma}(p_i)_\nu(p_{3+i})_\rho(K_i)_\sigma, \quad (9)$$

причем 4-векторы  $a_i$  произвольны, а  $i = 1, 2, 3$ .

Образуем восемь ортогональных амплитуд вида

$$w_{klm} = w_{1k} w_{2l} w_{3m} \quad (k, l, m = 1, 2). \quad (10)$$

Допустимо следующее однозначное разложение матричного элемента  $\mathcal{M}$  процесса (1)

$$\mathcal{M} = \sum_{k,l,m=1}^2 c_{klm} w_{klm}. \quad (11)$$

Коэффициенты  $c_{klm}$  находятся по формуле

$$c_{klm} = \left\{ \sum_{\text{polar}} \mathcal{M} w_{klm}^* \right\} / (w_{klm}, w_{klm}). \quad (12)$$

Квадрат матричного элемента  $\mathcal{M}$ , просуммированный по поляризациям конечных частиц, дается соотношением

$$\overline{|\mathcal{M}|^2} = \sum_{klm} |c_{klm}|^2 (w_{klm}, w_{klm}). \quad (13)$$

Линейная зависимость (12) коэффициентов  $c_{klm}$  от  $\mathcal{M}$  существенно облегчает составление программ и проведение компьютерных вычислений. Вначале мы составляем одну REDUCE-программу для шпурров и тензорных сверток, относящихся по отдельности к тем 46 слагаемым из суммы  $\sum_{\text{polar}} \mathcal{M} w_{111}^*$ , которые соответствуют некоторой конкретизации базовых диаграмм Фейнмана на рис. 1. Затем с помощью текстового редактора (например, joe) мы получаем еще 11 REDUCE-программ путем проведения замен, соответствующих новым конкретизациям кварк-антикварковых и фотонных линий на 46 базовых диаграммах Фейнмана. Результаты вычисления шпурров и тензорных сверток, возникающих при выполнении всех 12 REDUCE-программ, с помощью отдельной

программы сводятся воедино, представляя величину  $\Sigma_{\text{polar}} \mathcal{M} w_{111}^*$ . Далее каждая из уже имеющихся 13 программ дополняется семью новыми программами путем подходящих замен, превращающих ортогональную амплитуду  $w_{111}$  в другие амплитуды  $w_{klm}$ . Величинам  $(w_{klm}, w_{klm})$  мы посвящаем самостоятельную REDUCE-программу. Разбиение квадрата матричного элемента в сумму (13) также облегчает компьютерные вычисления, поскольку позволяет выполнять почленное интерпретирование по фазовому объему рождающихся частиц. Сложение результатов для дифференциальных сечений выполняется нами с помощью специальной программы.

Отметим теперь, что применение метода ортогональных амплитуд не позволяет сколь-нибудь простым аналитическим способом провести усреднение квадрата матричного элемента по поляризациям фотонов. У нас 4-векторы  $e_1$  и  $e_2$  входят в получаемое выражение для  $|\mathcal{M}|^2$  как некоторые внешние величины, подлежащие заданию наряду с 4-векторами  $a_i$  ( $i = 1, 2, 3$ ) из соотношения (8) и константами теории. При вычислении сечений в системе центра масс сталкивающихся фотонов мы рассматриваем по-отдельности два варианта их поперечных поляризаций: вдоль одного и того же направления и вдоль взаимно перпендикулярных направлений.

#### 4. ПОЛНЫЕ И ДИФФЕРЕНЦИАЛЬНЫЕ СЕЧЕНИЯ

Связывание в барион трех夸克, два из которых или все три тяжелые, описывается непертурбативным нерелятивистским приближением. Это приближение включает в себя следующие элементы. Во-первых, относительные скорости夸克, составляющих барион, полагаются пренебрежимо малыми, вследствие чего 4-импульсы трех рождающихся夸克 в процессе (1) принимаются пропорциональными 4-импульсу  $p$  бариона  $\Omega_{scb}$ :

$$\begin{aligned} p_1 &= (m_s/M)p, & p_2 &= (m_c/M)p, \\ p_3 &= (m_b/M)p, & M &= m_s + m_c + m_b. \end{aligned} \quad (14)$$

Во-вторых, процесс (1) с шестичастичным конечным состоянием превращается эффективно в процесс  $2 \rightarrow 4$

$$\gamma(k_1) + \gamma(k_2) \rightarrow \Omega_{scb}(p) + \bar{s}(p_4) + \bar{c}(p_5) + \bar{b}(p_6), \quad (15)$$

дифференциальное сечение которого дается формулой

$$d\sigma = \frac{(2\pi)^4 |\mathcal{M}|^2}{2s} \cdot \frac{|\psi(0)|^2}{M^2} \delta^4(k_1 + k_2 - p - p_4 - p_5 - p_6) \times \\ \times \frac{d^3 p}{(2\pi)^3 2E} \cdot \frac{d^3 p_4}{(2\pi)^3 2E_4} \cdot \frac{d^3 p_5}{(2\pi)^3 2E_5} \cdot \frac{d^3 p_6}{(2\pi)^3 2E_6}, \quad (16)$$

где  $\psi(0)$  – значение волновой функции  $\Omega_{scb}$ -бариона при равных нулю относительных координатах его夸克ов.

Численные результаты для полных сечений и для распределений  $\Omega_{scb}$ -барионов по энергии  $E$ , по поперечному импульсу  $p_T$  и по быстроте  $Y$  мы получаем путем монте-карловского интегрирования с помощью программы СомпНЕР. Чтобы уменьшить ошибки вычислений дифференциальных сечений, мы вначале задаем выполнение одной итерации для полных сечений, в результате чего выстраивается некоторая начальная решетка фазового объема и создаются предпосылки для ее деформирования в соответствии с особенностями квадрата амплитуды изучаемого процесса. Затем мы задаем выполнение 10 итераций для всех сечений, каждая из которых строится на 500 000 монте-карловских обращениях к подынтегральному выражению, так же как и вводная итерация.

При энергии сталкивающихся фотонов  $\sqrt{s} = M_Z$  мы полагаем, что  $\alpha = \alpha(M_Z/2) = 1/132.3$ ,  $\alpha_s = \alpha_s(M_Z/2) = 0.134$ , а при энергии  $\sqrt{s} = 200$  ГэВ константы берутся равными  $\alpha = \alpha(100 \text{ ГэВ}) = 1/127.2$ ,  $\alpha_s = \alpha_s(100 \text{ ГэВ}) = 0.116$ . Массам夸克ов даются значения:  $m_s = 0.5$  ГэВ,  $m_c = 1.5$  ГэВ,  $m_b = 4.8$  ГэВ, – при которых

$$|\psi(0)|^2 = 0.57 \cdot 10^{-3} \text{ ГэВ}^6. \quad (17)$$

Оценка (17) является результатом экстраполяции [15], принимающей во внимание значения величины  $|\psi(0)|^2$  для шести различных барионов, найденные в работе [22] в рамках потенциальной модели.

Теоретические непределенности, связанные с выбором масштаба перенормировки в текущей константе сильного взаимодействия  $\alpha_s$ , с численными значениями масс составных夸克ов и с величиной волновой функции  $\psi(0)$ , на наш взгляд, могут изменять рассчитываемые полные сечения рождения барионов в пределах примерно фактора 2, мало при этом затрагивая форму дифференциальных сечений.

Переходя к комментариям численных результатов наших вычислений, отметим в первую очередь, что полные сечения рождения  $\Omega_{scb}$ -барионов

фотонами с одинаковыми линейными поляризациями  $\sigma_{\text{tot}}^{\uparrow\uparrow}$  и фотонами с взаимно перпендикулярными поляризациями  $\sigma_{\text{tot}}^{\uparrow\downarrow}$  равны между собой. Эти сечения представлены в таблице.

Полные сечения рождения  $\Omega_{scb}$ -барионов в фотон-фотонных столкновениях.

$\sqrt{s}$ , ГэВ	$\sigma_{\text{tot}}^{\uparrow\uparrow}$ , фбн	$\sigma_{\text{tot}}^{\uparrow\downarrow}$ , фбн
91.2	$(0.1639 \pm 0.0005) \cdot 10^{-3}$	$(0.1636 \pm 0.0005) \cdot 10^{-3}$
200	$(0.0414 \pm 0.0002) \cdot 10^{-3}$	$(0.0410 \pm 0.0002) \cdot 10^{-3}$

Нетрудно убедиться в том, что при переходе от энергии  $\sqrt{s} = 91.2$  ГэВ к энергии  $\sqrt{s} = 200$  ГэВ полное сечение рождения  $\Omega_{scb}$ -барионов убывает в 2.0 раза медленнее, чем величина  $\alpha^2 \alpha_s^4 s^{-1}$ .

Распределения барионов по быстроте  $Y$ , по поперечному импульсу  $p_T$ , и по переменной  $x_p = p/p_{max}$  представлены на рис. 2 $a$ , 2 $b$  и 2 $c$  для полной энергии  $\sqrt{s} = 200$  ГэВ и на рис. 2 $d$ , 2 $e$  и 2 $f$  для  $\sqrt{s} = 91.2$  ГэВ. Для наглядности сопоставления мы приводим на рис. 2 $g$ , 2 $h$  и 2 $i$  взятые из наших работ [13] и [15] аналогичные распределения для барионов, рождающихся в  $Z$ -полюсе  $e^+e^-$ -аннигиляции.

В  $\gamma\gamma$ -столкновениях отношение ширины распределения барионов по  $Y$  (на половинном уровне от максимума) к допустимому интервалу быстроты одинаково для обеих значений  $\sqrt{s}$  и в 1.7 раза больше соответствующего отношения в  $Z$ -полюсе  $e^+e^-$ -столкновений. Если в  $Z$ -полюсе  $e^+e^-$ -аннигиляции распределение барионов по  $p_T$  имеет максимум примерно при 25 ГэВ и ширину равную примерно 30 ГэВ, то в фотон-фотонных столкновениях распределения  $d\sigma/dp_T$  имеют максимумы при относительно малых значениях  $p_T$ , примерно при 5 ГэВ для обеих значений  $\sqrt{s}$ , и являются достаточно узкими, с шириной примерно 7 ГэВ и 9 ГэВ для полных энергий 91.2 ГэВ и 200 ГэВ соответственно. Также сильно различаются между собой по форме распределения  $d\sigma/dx_p$  для барионов, рождающихся в  $e^+e^-$ - и в  $\gamma\gamma$ -столкновениях. Для первого процесса это распределение имеет максимум при  $x_p = 0.7$ , его ширина равна 0.44, а форма хорошо описывается функцией фрагментации Петерсона [23]

$$d\sigma/dx_p \sim D(x_p) \sim (1 - 1/x_p - \epsilon/(1 - x_p))^{-2}/x_p, \quad (18)$$

в которой  $\epsilon = 0.124$ . Для второго процесса распределения  $d\sigma/dx_p$  имеют максимумы при  $x_p = 0.17$  и  $x_p = 0.09$ , ширины 0.33 и 0.18 и перегибы

примерно при  $x_p = 0.74$  и  $x_p = 0.80$  соответственно для энергий  $\sqrt{s} = 91.2$  ГэВ и  $\sqrt{s} = 200$  ГэВ. Форму сечения  $d\sigma/dx_p$  в  $\gamma\gamma$ -столкновениях нельзя передать сколь-нибудь удовлетворительно ни функцией фрагментации Петерсона, ни функцией фрагментации реджевского типа [24]

$$d\sigma/dx_p \sim D(x_p) \sim x_p^\beta (1 - x_p)^\gamma. \quad (19)$$

Лучшие приближения, даваемые этими функциями, изображены на рис. 2 $a$  и 2 $e$  сплошными и пунктирными линиями соответственно.

Существенно различные формы дифференциальных сечений рождения барионов в  $e^+e^-$ - и  $\gamma\gamma$ -столкновениях при одной и той же полной энергии свидетельствуют о том, что понятие фрагментации тяжелого кварка в барион не обладает универсальностью в своем количественном аспекте.

## Список литературы

- [1] В.В. Киселев, А.К. Лиходед, УФН **172**, 497 (2002).
- [2] SELEX Collab. (M. Mattson *et al.*), Phys. Rev. Lett. **89**, 112001 (2002).
- [3] Particle Data Group (S. Eidelman *et al.*), Phys. Lett. B **592**, 1 (2004).
- [4] A. Falk, M. Luke, M. Savage, and M. Wise, Phys. Rev. D **49**, 555 (1994).
- [5] M.A. Doncheski, J. Steegborn, and M.J. Stong, Phys. Rev. D **53**, 1247 (1996).
- [6] А.В. Бережной, В.В. Киселев, А.К. Лиходед, ЯФ **59**, 909 (1996).
- [7] S.P. Baranov, Phys. Rev. D **54**, 3228 (1996).
- [8] А.В. Бережной, В.В. Киселев, А.К. Лиходед, А.И. Онищенко, ЯФ **60**, 2048 (1997).
- [9] S.P. Baranov, Phys. Rev. D **56**, 3046 (1997).
- [10] A.V. Bereznoy, V.V. Kiselev, A.K. Likhoded, and A.I. Onishchenko, Phys. Rev. D **57**, 4385 (1998).
- [11] V.V. Braguta and A.E. Chalov, hep-ph/0005149.

- [12] M.A. Homshi Nobary and R. Sepahvand, Phys. Rev. D **71**, 034024 (2005).
- [13] С.П. Баранов, В.Л. Сладъ, ЯФ **66**, 1778 (2003).
- [14] С.П. Баранов, В.Л. Сладъ, ЯФ **67**, 829 (2004).
- [15] С.П. Баранов, В.Л. Сладъ, ЯФ **68**, 1265 (2005).
- [16] C.-H. Chang, Nucl. Phys. B **172**, 425 (1980).
- [17] R. Baier and R. Rückl, Phys. Lett. B **102**, 364 (1981).
- [18] E. L. Berger and D. Jones, Phys. Rev. D **23**, 1521 (1981).
- [19] A. Pukhov *et al.*, hep-ph/9908288.
- [20] B. Badalek *et al.*, hep-ex/0108012.
- [21] R.E. Prange, Phys. Rev. **10**, 240 (1958).
- [22] E. Bagan, H.G. Dosch, P. Godzinsky, S. Narison, and J.-M. Richard, Z. Phys. C **64**, 57 (1994).
- [23] C. Peterson, D. Schlatter, I. Schmitt, and P. M. Zerwas, Phys. Rev. D **27**, 105 (1983).
- [24] V.D. Kartvelischvili, A.K. Likhoded, V.A. Petrov, Phys. Lett. B **78**, 615 (1978).

**Рис. 1.** 46 базовых диаграмм Фейнмана для процесса  $\gamma + \gamma \rightarrow s + c + b + \bar{s} + \bar{c} + \bar{b}$ .

**Рис. 2.** Дифференциальные сечения рождения  $\Omega_{scb}$ -барионов в фотон-фотонных столкновениях при энергии  $\sqrt{s} = 200$  ГэВ (*a, b, v*) и  $\sqrt{s} = 91.2$  ГэВ (*z, d, e*) и в  $Z$ -полюсе  $e^+e^-$ -аннигиляции (*ж, з, u*): по быстроте  $Y$  (*a, z, ж*), по поперечному импульсу  $p_T$  (*b, d, з*) и по переменной  $x_p$  (*v, e, u*). Крестики обозначают результаты монте-карловских вычислений и их ошибки. Сплошные линии передают поведение функции фрагментации Петерсона при  $\epsilon = 11.0$  (*v*),  $\epsilon = 4.0$  (*e*) и  $\epsilon = 0.124$  (*u*). Пунктирные линии отражают форму функции фрагментации реджевского типа при  $\beta = 0.5$ ,  $\gamma = 5.8$  (*b*) и  $\beta = 0.7$ ,  $\gamma = 3.3$  (*e*).

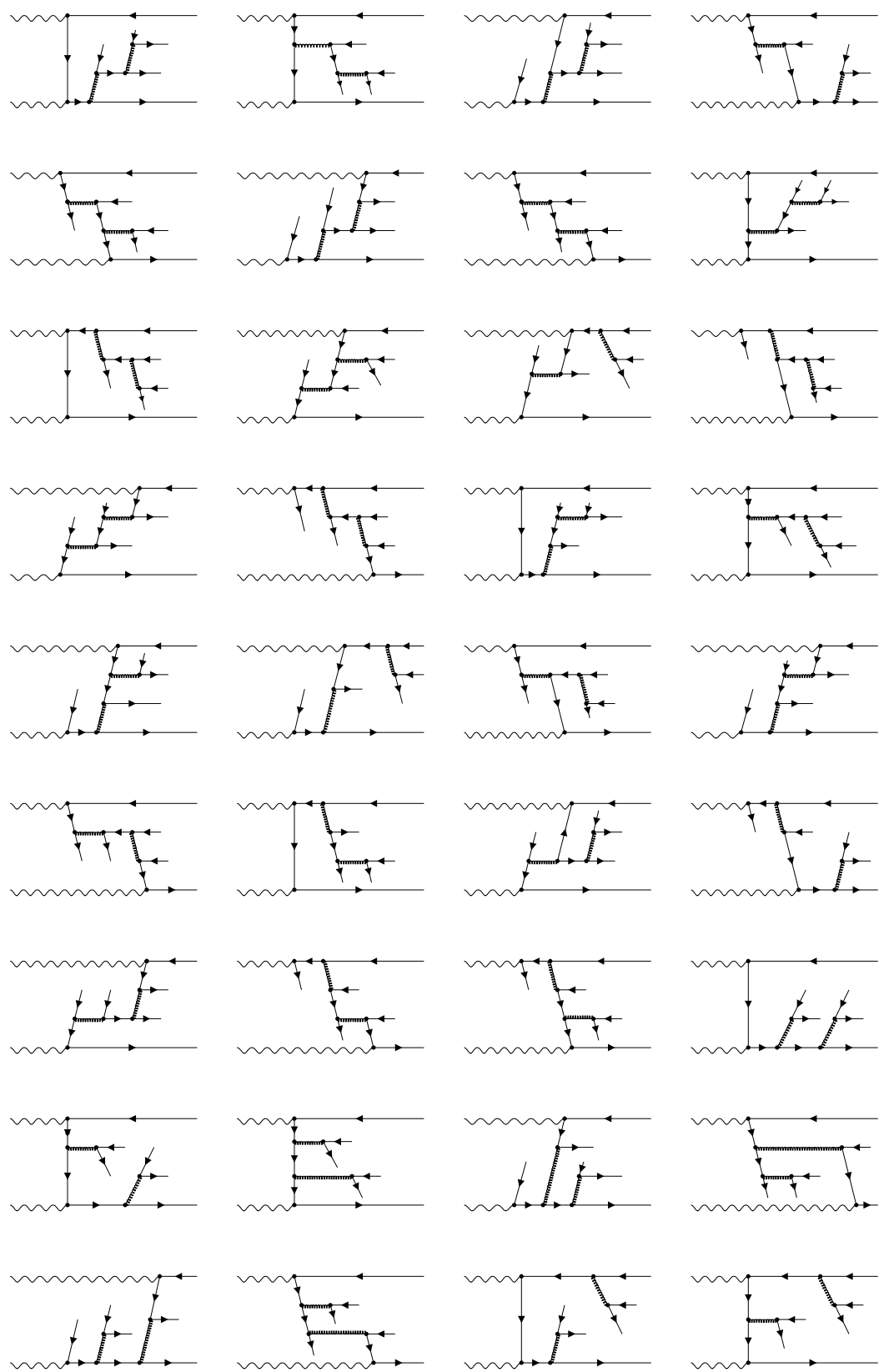
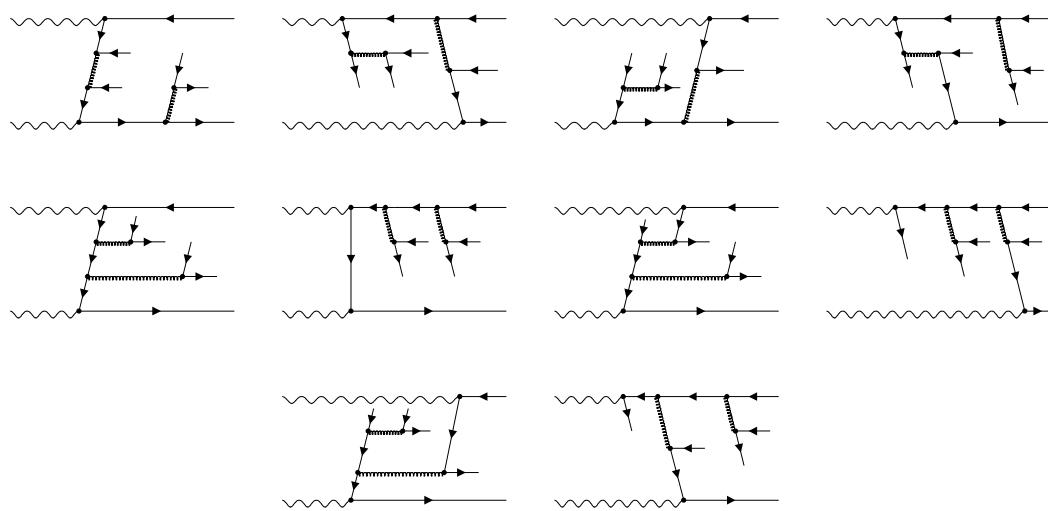


Рис. 1. (Начало).



**Рис. 1.** (Окончание).

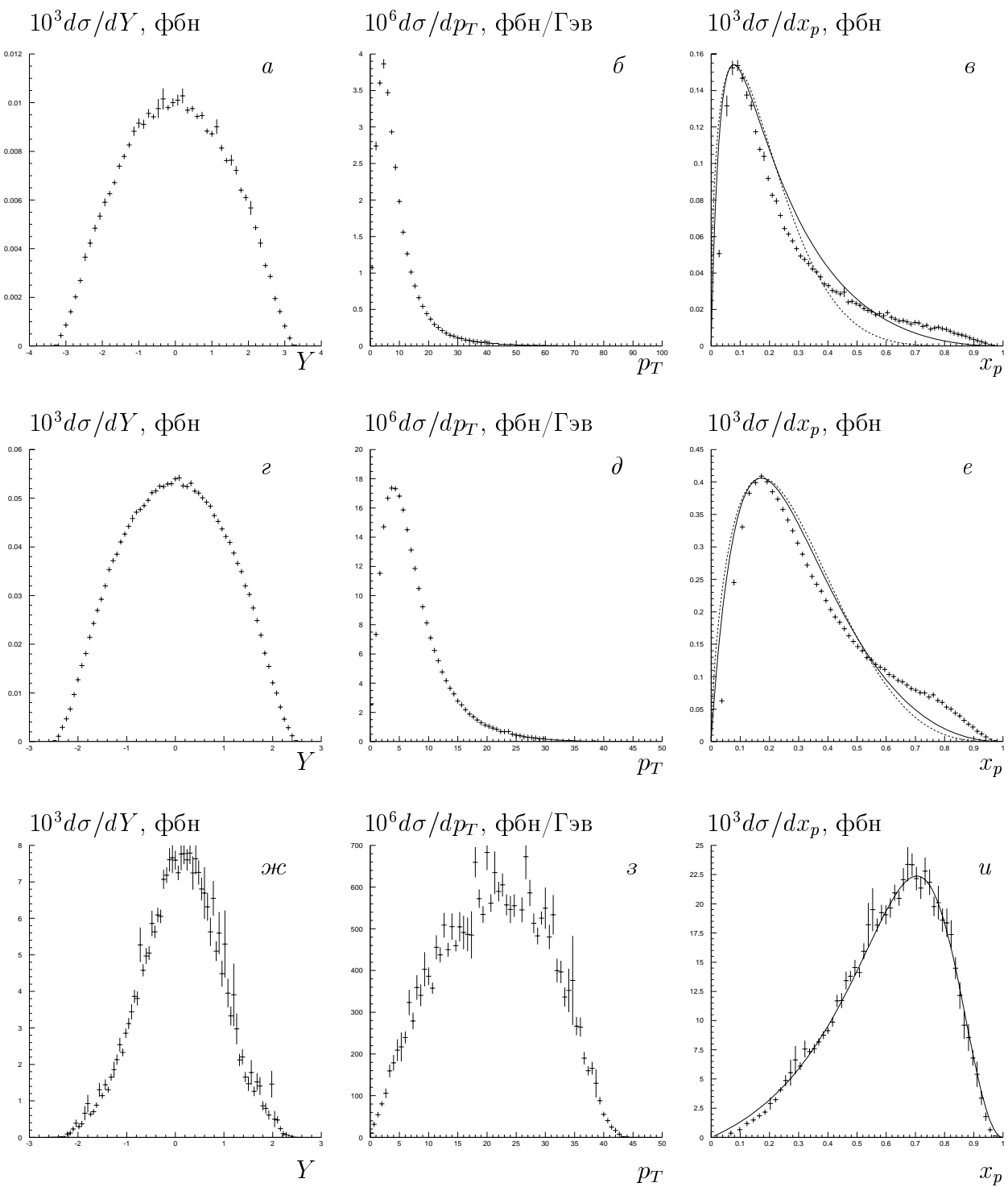


Рис. 2.

Виталий Леонидович Сладь

**Рождение  $\Omega_{scb}$ -барионов в фотон-фотонных  
столкновениях**

Препринт НИИЯФ МГУ 2005-19/785

Работа поступила в ОНТИ 8 июля 2005г.

Издательство УНЦ ДО

117246 Москва, ул. Обручева, 55А, УНЦ ДО  
тел./факс (095) 718-6966, 718-7767, 718-7785  
e-mail: izdat@abiturcenter.ru  
<http://abiturcenter.ru/izdat>

Подписано в печать 8 июля 2005 г. Формат 60x90/16  
Бумага офсетная N 1. Усл. печ. л. 1,25  
Тираж 50 экз. Заказ N 857

Отпечатано в Мини-типографии УНЦ ДО  
<http://abiturcenter.ru/print/>  
в полном соответствии с качеством  
представленного оригинал-макета